

# *Processamento Digital de Imagens*

## Processamento de Sinais Multidimensionais

**Eduardo A. B. da Silva**

**Programa de Engenharia Elétrica - COPPE/UFRJ**

Laboratório de Sinais, Multimídia e Telecomunicações  
eduardo@smt.ufrj.br

**Sergio L. Netto**

**Programa de Engenharia Elétrica - COPPE/UFRJ**

Laboratório de Sinais, Multimídia e Telecomunicações  
sergioln@smt.ufrj.br

Abril de 2017



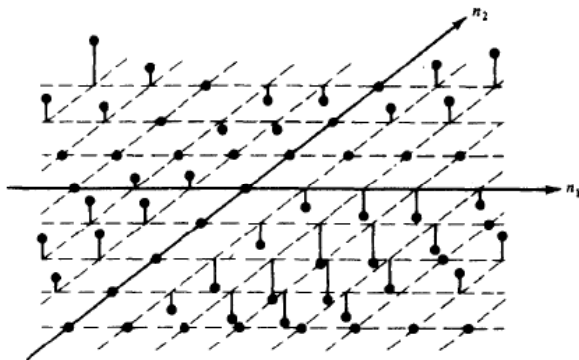
# Sumário

## 1 Processamento de Sinais Multidimensionais

- Sinais Multidimensionais Discretos
- Sistemas Multi-Dimensionais
- Sinais e Sistemas Multidimensionais no Domínio da Frequência
- Transformada de Fourier Multi-dimensional
- Amostragem de Sinais Multidimensionais Contínuos
- Limitações Práticas na Amostragem e Reconstrução

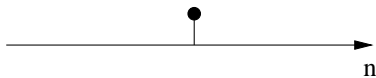
# Sinais Multidimensionais Discretos

Função  $f(x, y)$ , contínua  $\Rightarrow f(n_1, n_2)$ , discreta  $\Rightarrow$  sequência bi-dimensional.

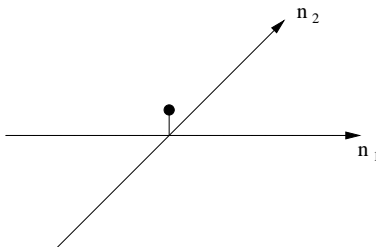


- **Impulso:**

$$\delta(n) = \begin{cases} 1, & n = 0; \\ 0, & n \neq 0. \end{cases}$$



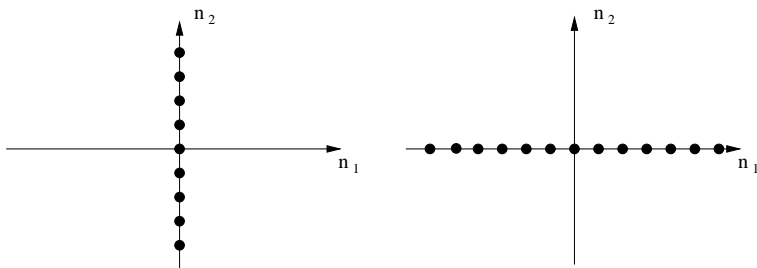
$$\delta(n_1, n_2) = \begin{cases} 1, & n_1 = n_2 = 0; \\ 0, & n.d.p. \end{cases}$$



$$\delta(n_1, n_2) = \delta(n_1)\delta(n_2)$$

- **Impulso Linear:**

$$x(n_1, n_2) = \delta(n_1) \text{ ou } x(n_1, n_2) = \delta(n_2)$$

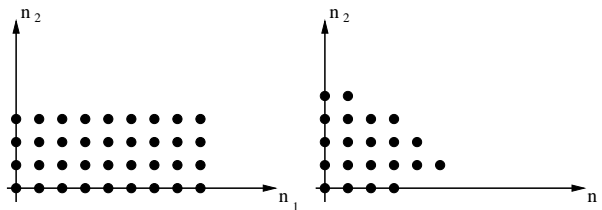


- **Degrau:**

$$u(n) = \begin{cases} 1, & n \geq 0; \\ 0, & n < 0. \end{cases}$$

$$u(n_1, n_2) = \begin{cases} 1, & n_1 \geq 0 \text{ e } n_2 \geq 0; \\ 0, & n.d.p.. \end{cases}$$

- **Exponenciais:**  $x(n_1, n_2) = a^{n_1} b^{n_2}$ 
  - Caso particular:  $a = e^{j\omega_1}$ ,  $b = e^{j\omega_2} \Rightarrow x(n_1, n_2) = e^{j\omega_1 n_1 + j\omega_2 n_2}$
- **Sequências separáveis:**  $x(n_1, n_2) = x_1(n_1)x_2(n_2)$
- **Sequências Finitas:** região de suporte

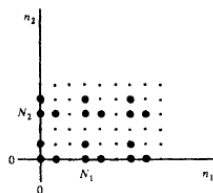


- Sequências Periódicas

1ª tentativa: periódica em cada uma das direções  $n_1$  e  $n_2$

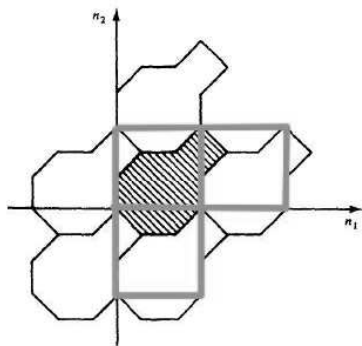
$$x(n_1, n_2 + N_2) = x(n_1, n_2)$$

$$x(n_1 + N_1, n_2) = x(n_1, n_2)$$



$N_1 N_2$  amostras independentes  $\Rightarrow$

Qualquer região conectada com  $N_1 N_2$  amostras pode ser o período.



$\Rightarrow$  2 períodos alternativos

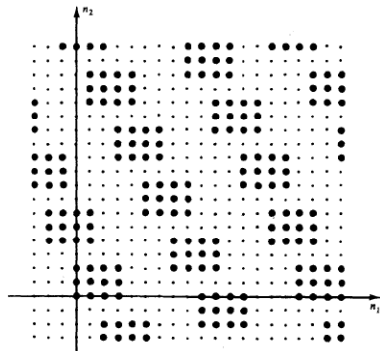
De um modo geral:

$$\begin{aligned} x(n_1 + N_{11}, n_2 + N_{21}) &= x(n_1, n_2) \\ x(n_1 + N_{12}, n_2 + N_{22}) &= x(n_1, n_2) \end{aligned}$$

$$D = N_{11}N_{22} - N_{12}N_{21} \neq 0$$

$$\mathbf{N}_1 = \begin{bmatrix} N_{11} \\ N_{21} \end{bmatrix} \quad \mathbf{N}_2 = \begin{bmatrix} N_{12} \\ N_{22} \end{bmatrix} \quad \mathbf{n} = \begin{pmatrix} n_1 \\ n_2 \end{pmatrix} \Rightarrow \begin{aligned} x(\mathbf{n} + \mathbf{N}_1) &= x(\mathbf{n}) \\ x(\mathbf{n} + \mathbf{N}_2) &= x(\mathbf{n}) \end{aligned}$$





$$\mathbf{N}_1 = \begin{pmatrix} 7 \\ 2 \end{pmatrix} \quad \mathbf{N}_2 = \begin{pmatrix} -2 \\ 4 \end{pmatrix}$$

$|D| = \text{n}^\circ \text{ de amostras em um período}$

- **m dimensões:**  $\mathbf{N} = [\mathbf{N}_1 \mathbf{N}_1 \cdots \mathbf{N}_m] \Rightarrow x(\mathbf{n} + \mathbf{N}_i) = x(\mathbf{n}), i = 1, 2, \dots, m$

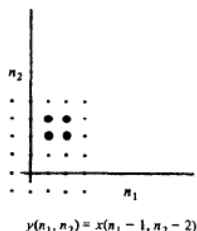
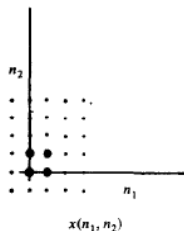
$\mathbf{N} \Rightarrow$  matriz de periodicidade:

- Se  $\mathbf{r}$  é um vetor inteiro, então  $x(\mathbf{n} + \mathbf{N}\mathbf{r}) = x(\mathbf{n})$
- $\forall P$  matriz inteira  $\Rightarrow \mathbf{N}P$  também é matriz de periodicidade.

# Sistemas Multi-Dimensionais

## Operações Fundamentais

- **Soma:**  $y(n_1, n_2) = x(n_1, n_2) + w(n_1, n_2)$
- **Multiplicação por Escalar:**  $y(n_1, n_2) = cx(n_1, n_2)$
- **Deslocamento:**  $y(n_1, n_2) = x(n_1 - m_1, n_2 - m_2)$



- $$x(n_1, n_2) = \sum_{k_1=-\infty}^{\infty} \sum_{k_2=-\infty}^{\infty} x(k_1, k_2) \delta(n_1 - k_1, n_2 - k_2)$$

- **Linearidade:**  $y_1 = L[x_1]$ ,  $y_2 = L[x_2]$

$$\Rightarrow L[ax_1 + bx_2] = ay_1 + by_2$$

$$\begin{aligned} y(n_1, n_2) &= L[x(n_1, n_2)] = L \left[ \sum_{k_1} \sum_{k_2} x(k_1, k_2) \delta(n_1 - k_1, n_2 - k_2) \right] \\ &= \sum_{k_1} \sum_{k_2} x(k_1, k_2) L[\delta(n_1 - k_1, n_2 - k_2)] \\ &= \sum_{k_1} \sum_{k_2} x(k_1, k_2) h_{k_1, k_2}(n_1, n_2) \end{aligned}$$

- **Invariância ao Deslocamento:**  $y(n_1, n_2) = T[x(n_1, n_2)]$

$$\Rightarrow T[x(n_1 - m_1, n_2 - m_2)] = y(n_1 - m_1, n_2 - m_2)$$

$L[x(n_1, n_2)] = c(n_1, n_2)x(n_1, n_2)$ : Linear, mas variante ao deslocamento.

$L[x(n_1, n_2)] = [x(n_1, n_2)]^2$ : Invariante ao deslocamento, mas não-linear.

- **Sistemas Lineares Invariantes ao Deslocamento:**

$$h_{k_1 k_2}(n_1, n_2) = L[\delta(n_1 - k_1, n_2 - k_2)]$$

$$\text{Se } h_{00}(n_1, n_2) = L[\delta(n_1, n_2)] \Rightarrow h_{k_1 k_2}(n_1, n_2) = h_{00}(n_1 - k_1, n_2 - k_2)$$

$$\Rightarrow y(n_1, n_2) = \sum_{k_1=-\infty}^{\infty} \sum_{k_2=-\infty}^{\infty} x(k_1, k_2) h(n_1 - k_1, n_2 - k_2)$$

$$\begin{cases} \theta_1 = n_1 - k_1 \\ \theta_2 = n_2 - k_2 \end{cases}$$

$$\Rightarrow y(n_1, n_2) = \sum_{\theta_1=-\infty}^{\infty} \sum_{\theta_2=-\infty}^{\infty} x(n_1 - \theta_1, n_2 - \theta_2) h(\theta_1, \theta_2)$$

$$\Rightarrow \mathbf{y} = \mathbf{x} * \mathbf{h} = \mathbf{h} * \mathbf{x}$$

Vetorialmente, 
$$y(\mathbf{n}) = \sum_{\mathbf{k} \in \mathbb{Z}^2} x(\mathbf{k}) h(\mathbf{n} - \mathbf{k})$$

• **Exemplo 1:**

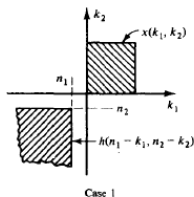
$$h(n_1, n_2) = u(n_1, n_2)$$

$$x(n_1, n_2) = \begin{cases} 1, & 0 \leq n_1 \leq N_1 \text{ e } 0 \leq n_2 \leq N_2 \\ 0, & \text{n.d.p.} \end{cases}$$

$$\Rightarrow y(n_1, n_2) = \sum_{k_1=-\infty}^{\infty} \sum_{k_2=-\infty}^{\infty} x(k_1, k_2)h(n_1-k_1, n_2-k_2)$$

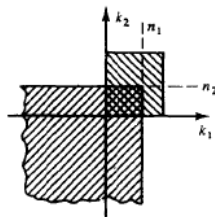
**5 casos:**

(i)  $n_1 < 0, n_2 < 0 \Rightarrow y(n_1, n_2) = 0.$



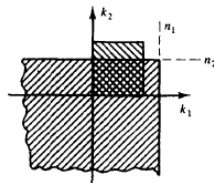
$$(ii) \ 0 \leq n_1 \leq N_1, \ 0 \leq n_2 \leq N_2$$

$$\Rightarrow y(n_1, n_2) = \sum_{k_1=0}^{n_1} \sum_{k_2=0}^{n_2} 1 = (n_1 + 1)(n_2 + 1)$$



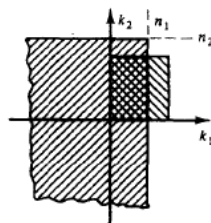
$$(iii) \ n_1 > N_1, \ 0 \leq n_2 \leq N_2$$

$$\Rightarrow y(n_1, n_2) = \sum_{k_1=0}^{N_1} \sum_{k_2=0}^{n_2} 1 = (N_1 + 1)(n_2 + 1)$$



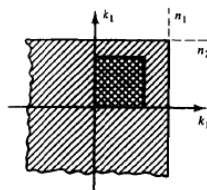
(iv)  $0 \leq n_1 \leq N_1, n_2 > N_2$

$$\Rightarrow y(n_1, n_2) = \sum_{k_1=0}^{n_1} \sum_{k_2=0}^{N_2} 1 = (n_1 + 1)(N_2 + 1)$$

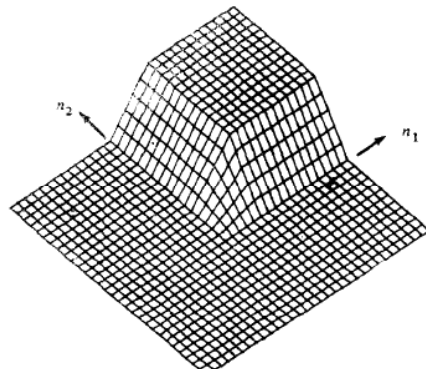


(v)  $n_1 > N_1, n_2 > N_2$

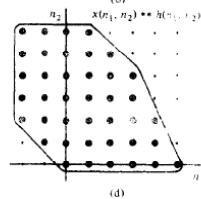
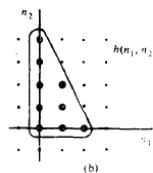
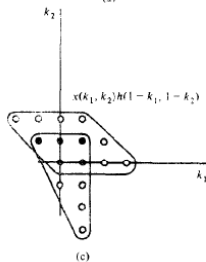
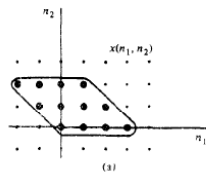
$$\Rightarrow y(n_1, n_2) = \sum_{k_1=0}^{N_1} \sum_{k_2=0}^{N_2} 1 = (N_1 + 1)(N_2 + 1)$$







- Exemplo 2:



- **Conexões em Cascata e Paralelas:**

- $\rightarrow x ** h = h ** x$

- $\rightarrow (x ** h) ** g = x ** (h ** g) = (x ** g) ** h = x ** (g ** h)$

- $\rightarrow x ** (h + g) = x ** g + x ** h$

- **Sistemas Separáveis:**  $h(n_1, n_2) = h_1(n_1)h_2(n_2)$

$$\begin{aligned}
 y(n_1, n_2) &= \sum_{k_1=-\infty}^{\infty} \sum_{k_2=-\infty}^{\infty} x(k_1, k_2) h(n_1 - k_1, n_2 - k_2) \\
 &= \sum_{k_2=-\infty}^{\infty} \sum_{k_1=-\infty}^{\infty} x(k_1, k_2) h_1(n_1 - k_1) h_2(n_2 - k_2)
 \end{aligned}$$

$$\begin{aligned}
&= \underbrace{\sum_{k_2=-\infty}^{\infty} h_2(n_2 - k_2) \sum_{k_1=-\infty}^{\infty} x(k_1, k_2) h_1(n_1 - k_1)}_{\text{primeiro colunas depois linhas}} \\
&= \underbrace{\sum_{k_1=-\infty}^{\infty} h_1(n_1 - k_1) \sum_{k_2=-\infty}^{\infty} x(k_1, k_2) h_2(n_2 - k_2)}_{\text{primeiro linhas depois colunas}}
\end{aligned}$$

$$h(n_1, n_2) \Rightarrow M_1 \times M_2$$

$$x(n_1, n_2) \Rightarrow N_1 \times N_2$$

$$M_1 < N_1, \quad M_2 < N_2$$

- **Convolução bi-dimensional:**

Cada amostra  $\simeq \begin{matrix} O(M_1 M_2) \text{ multiplicações} \\ O(M_1 M_2) \text{ somas} \end{matrix}$

Todas as  $\approx N_1 N_2$  amostras:  $O(M_1 M_2 N_1 N_2)$  somas ou multiplicações.

- **Convolução separável:**

- Cada coluna:  $\begin{cases} O(M_1) \text{ somas ou multiplicações por amostra} \\ O(M_1 N_1) \text{ somas ou multiplicações totais} \end{cases}$

- Cada linha:  $\begin{cases} O(M_2) \text{ somas ou multiplicações por amostra} \\ O(M_2 N_2) \text{ somas ou multiplicações totais} \end{cases}$

- $N_1$  linhas +  $N_2$  colunas  $\Rightarrow N_1 O(M_2 N_2) + N_2 O(M_1 N_1)$  somas ou multiplicações

- Economia da separável em relação à não-separável  $\Rightarrow O\left(\frac{1}{M_1} + \frac{1}{M_2}\right)$  somas ou multiplicações

- **Estabilidade:**

BIBO (Bounded Input, Bounded Output):

$$\sum_{n_1=-\infty}^{\infty} \sum_{n_2=-\infty}^{\infty} |h(n_1, n_2)| = S_1 < \infty$$

Mais fraca (mean-square):

$$\sum_{n_1=-\infty}^{\infty} \sum_{n_2=-\infty}^{\infty} |h(n_1, n_2)|^2 = S_2 < \infty$$

# Sinais e Sistemas Multidimensionais no Domínio da Frequência

$$x(n_1, n_2) = e^{j\omega_1 n_1 + j\omega_2 n_2} \Rightarrow \sum_{k_1} \sum_{k_2} e^{j\omega_1(n_1 - k_1) + j\omega_2(n_2 - k_2)} h(k_1, k_2)$$

$$\Rightarrow y(n_1, n_2) = e^{j\omega_1 n_1 + j\omega_2 n_2} \sum_{k_1} \sum_{k_2} h(k_1, k_2) e^{-j\omega_1 k_1 - j\omega_2 k_2} = e^{j\omega_1 n_1 + j\omega_2 n_2} H(\omega_1, \omega_2)$$

$$\Rightarrow H(\omega_1, \omega_2) = \sum_{n_1} \sum_{n_2} h(n_1, n_2) e^{-j\omega_1 n_1 - j\omega_2 n_2}$$

$$H(\omega_1, \omega_2) \text{ é periódica} \Rightarrow H(\omega_1 + 2\pi, \omega_2) = H(\omega_1, \omega_2 + 2\pi) = H(\omega_1, \omega_2)$$

Vetorialmente:

$$\mathbf{n} = \begin{pmatrix} n_1 \\ \vdots \\ n_M \end{pmatrix} \quad \boldsymbol{\omega} = \begin{pmatrix} \omega_1 \\ \vdots \\ \omega_M \end{pmatrix} \quad \Rightarrow \quad H(\boldsymbol{\omega}) = \sum_{\mathbf{n} \in \mathbb{Z}^M} h(\mathbf{n}) e^{-j\boldsymbol{\omega}^T \mathbf{n}}$$

- **Sistemas Separáveis:**  $h(n_1, n_2) = f(n_1)g(n_2) \Rightarrow H(\omega_1, \omega_2) = F(\omega_1)G(\omega_2)$

$$F(\omega_1) = \sum_n f(n)e^{-j\omega_1 n} \quad G(\omega_2) = \sum_n g(n)e^{-j\omega_2 n}$$

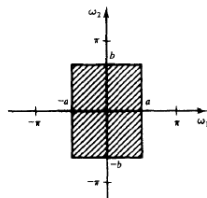
- **Caminho Inverso:**

$$h(n_1, n_2) = \frac{1}{4\pi^2} \int_{-\pi}^{\pi} \int_{-\pi}^{\pi} H(\omega_1, \omega_2) e^{j\omega_1 n_1 + j\omega_2 n_2} d\omega_1 d\omega_2$$



● Exemplo 1:

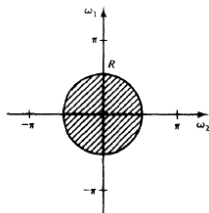
$$H(\omega_1, \omega_2) = \begin{cases} 1, & |\omega_1| \leq a \leq \pi, |\omega_2| \leq b \leq \pi \\ 0, & n.d.p. \end{cases}$$



$$\begin{aligned} h(n_1, n_2) &= \frac{1}{4\pi^2} \int_{-a}^a \int_{-b}^b e^{j\omega_1 n_1 + j\omega_2 n_2} d\omega_1 d\omega_2 = \frac{1}{4\pi^2} \int_{-a}^a e^{j\omega_1 n_1} d\omega_1 \int_{-b}^b e^{j\omega_2 n_2} d\omega_2 \\ &= \frac{1}{4\pi^2} \left[ \frac{1}{jn_1} (e^{jan_1} - e^{-jan_1}) \right] \left[ \frac{1}{jn_2} (e^{jbn_2} - e^{-jbn_2}) \right] \\ &= \frac{1}{4\pi^2} \frac{1}{n_1 n_2} 2\text{sen}(an_1)\text{sen}(bn_2) = \frac{\text{sen}(an_1)}{\pi n_1} \frac{\text{sen}(bn_2)}{\pi n_2} \end{aligned}$$

• Exemplo 2:

$$H(\omega_1, \omega_2) = \begin{cases} 1, & \omega_1^2 + \omega_2^2 \leq R^2 \\ 0, & n.d.p. \end{cases}$$



$$h(n_1, n_2) = \frac{1}{4\pi^2} \iint_A e^{j\omega_1 n_1 + j\omega_2 n_2} d\omega_1 d\omega_2$$

$$\omega = \sqrt{\omega_1^2 + \omega_2^2}, \phi = \arctg\left(\frac{\omega_2}{\omega_1}\right), \theta = \arctg\left(\frac{n_2}{n_1}\right)$$

$$\begin{aligned} \Rightarrow h(n_1, n_2) &= \frac{1}{4\pi^2} \int_0^R \int_0^{2\pi} \omega e^{(j\omega \sqrt{n_1^2 + n_2^2}) \cos(\theta - \phi)} d\phi d\omega \\ &= \frac{1}{2\pi} \int_0^R \omega J_0\left(\omega \sqrt{n_1^2 + n_2^2}\right) d\omega \\ &= \frac{R}{2\pi} \frac{J_1\left(R \sqrt{n_1^2 + n_2^2}\right)}{\sqrt{n_1^2 + n_2^2}} \end{aligned}$$

# Transformada de Fourier Multi-dimensional

Interpretação da fórmula de  $h(n_1, n_2)$  como uma soma de senóides complexas.

$$x(n_1, n_2) = \frac{1}{4\pi^2} \int_{-\pi}^{\pi} \int_{-\pi}^{\pi} X(\omega_1, \omega_2) e^{j\omega_1 n_1 + j\omega_2 n_2} d\omega_1 d\omega_2$$

$$X(\omega_1, \omega_2) = \sum_{n_1=-\infty}^{\infty} \sum_{n_2=-\infty}^{\infty} x(n_1, n_2) e^{-j\omega_1 n_1 - j\omega_2 n_2}$$

Em um sistema linear,

$$x(n_1, n_2) \longrightarrow \boxed{\begin{matrix} L[ \\ h(n_1, n_2) \end{matrix}} \longrightarrow y(n_1, n_2)$$

$$\begin{aligned} y(n_1, n_2) &= L[x(n_1, n_2)] = L \left[ \frac{1}{4\pi^2} \int_{-\pi}^{\pi} \int_{-\pi}^{\pi} X(\omega_1, \omega_2) e^{j\omega_1 n_1 + j\omega_2 n_2} d\omega_1 d\omega_2 \right] \\ &= \frac{1}{4\pi^2} \int_{-\pi}^{\pi} \int_{-\pi}^{\pi} X(\omega_1, \omega_2) L[e^{j\omega_1 n_1 + j\omega_2 n_2}] d\omega_1 d\omega_2 \\ &= \frac{1}{4\pi^2} \int_{-\pi}^{\pi} \int_{-\pi}^{\pi} X(\omega_1, \omega_2) H(\omega_1, \omega_2) e^{j\omega_1 n_1 + j\omega_2 n_2} d\omega_1 d\omega_2 \end{aligned}$$

$$\text{mas } y(n_1, n_2) = \frac{1}{4\pi^2} \int_{-\pi}^{\pi} \int_{-\pi}^{\pi} Y(\omega_1, \omega_2) e^{j\omega_1 n_1 + j\omega_2 n_2} d\omega_1 d\omega_2$$

$$\Rightarrow \boxed{Y(\omega_1, \omega_2) = X(\omega_1, \omega_2) H(\omega_1, \omega_2)}$$

● **Outras Propriedades:** (Notação:  $x \leftrightarrow X$ )

■ (i)  $y = h * x \leftrightarrow Y = HX$

■ (ii)  $x_1 \leftrightarrow X_1, \quad x_2 \leftrightarrow X_2 \Rightarrow ax_1 + bx_2 \leftrightarrow aX_1 + bX_2$

■ (iii)  $x(n_1, n_2) \leftrightarrow X(\omega_1, \omega_2)$

$$\Rightarrow x(n_1 - m_1, n_2 - m_2) \leftrightarrow e^{-j\omega_1 m_1 - j\omega_2 m_2} X(\omega_1, \omega_2)$$

■ (iv)

$$c(n_1, n_2) x(n_1, n_2) \leftrightarrow \frac{1}{4\pi^2} \int_{-\pi}^{\pi} \int_{-\pi}^{\pi} X(\theta_1, \theta_2) C(\omega_1 - \theta_1, \omega_2 - \theta_2) d\theta_1 d\theta_2$$

■ (v)

$$-jn_1x(n_1, n_2) \leftrightarrow \frac{\partial}{\partial \omega_1} X(\omega_1, \omega_2)$$

$$-jn_2x(n_1, n_2) \leftrightarrow \frac{\partial}{\partial \omega_2} X(\omega_1, \omega_2)$$

$$-n_1n_2x(n_1, n_2) \leftrightarrow \frac{\partial^2}{\partial \omega_1 \partial \omega_2} X(\omega_1, \omega_2)$$

■ (vi)  $x(n_1, n_2) \leftrightarrow X(\omega_1, \omega_2)$ 

■ (vii)

$$x(-n_1, n_2) \leftrightarrow X(-\omega_1, \omega_2)$$

$$x(n_1, -n_2) \leftrightarrow X(\omega_1, -\omega_2)$$

$$x(-n_1, -n_2) \leftrightarrow X(-\omega_1, -\omega_2)$$

■ (viii)  $x^*(n_1, n_2) \leftrightarrow X^*(-\omega_1, -\omega_2)$

- Teorema de Parseval:

$$x(n_1, n_2) \leftrightarrow X(\omega_1, \omega_2) \quad y(n_1, n_2) \leftrightarrow Y(\omega_1, \omega_2)$$

$$\sum_{n_1} \sum_{n_2} x(n_1, n_2) y^*(n_1, n_2) = \frac{1}{4\pi^2} \int_{-\pi}^{\pi} \int_{-\pi}^{\pi} X(\omega_1, \omega_2) Y^*(\omega_1, \omega_2) d\omega_1 d\omega_2$$

Se  $x(n_1, n_2) = y(n_1, n_2)$ :

$$\sum_{n_1} \sum_{n_2} |x(n_1, n_2)|^2 = \frac{1}{4\pi^2} \int_{-\pi}^{\pi} \int_{-\pi}^{\pi} |X(\omega_1, \omega_2)|^2 d\omega_1 d\omega_2$$

- Transformada Z:

$$X(z_1, z_2) = \sum_{m=-\infty}^{\infty} \sum_{n=-\infty}^{\infty} x(m, n) z_1^{-m} z_2^{-n}$$

Região de convergência:  $\{(z_1, z_2) | \text{o somatório converge}\}$

$$x(m, n) = \frac{1}{(2\pi j)^2} \oint \oint X(z_1, z_2) z_1^{m-1} z_2^{n-1} dz_1 dz_2$$

Propriedades:  $(x(m, n) \leftrightarrow X(z_1, z_2) \quad y(m, n) \leftrightarrow Y(z_1, z_2) \quad h(m, n) \leftrightarrow H(z_1, z_2))$

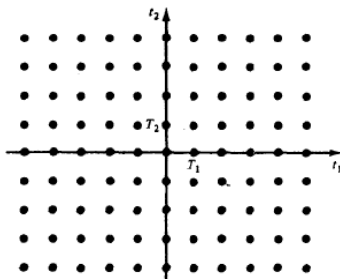
- (i)  $x(-m, -n) \leftrightarrow X(z_1^{-1}, z_2^{-1})$
- (ii)  $ax(m, n) + by(m, n) \leftrightarrow aX(z_1, z_2) + bY(z_1, z_2)$
- (iii)  $x^*(-m, -n) \leftrightarrow X^*(z_1^*, z_2^*)$
- (iv)  $x_1(m)x_2(n) \leftrightarrow X_1(z_1)X_2(z_2)$
- (v)  $x(m - m_0, n - n_0) \leftrightarrow z_1^{-m_0} z_2^{-n_0} X(z_1, z_2)$
- (vi)  $a^m b^n x(m, n) \leftrightarrow X\left(\frac{z_1}{a}, \frac{z_2}{b}\right)$
- (vii)  $h(m, n) * x(m, n) \leftrightarrow H(z_1, z_2)X(z_1, z_2)$
- (viii)  $x(m, n)y(m, n) \leftrightarrow \frac{1}{(2\pi j)^2} \oint \oint X\left(\frac{z_1}{z'_1}, \frac{z_2}{z'_2}\right) Y(z'_1, z'_2) \frac{dz'_1}{z'_1} \frac{dz'_2}{z'_2}$
- (ix) Transformada de Fourier:  $z_1 \leftrightarrow e^{j\omega_1}, \quad z_2 \leftrightarrow e^{j\omega_2}$



# Amostragem de Sinais Multidimensionais Contínuos

## Amostragem periódica com geometria retangular

$$x(n_1, n_2) = x_a(n_1 T_1, n_2 T_2)$$



Como recuperar  $x_a(t_1, t_2)$  de  $x(n_1, n_2)$ ?

$$X_a(\Omega_1, \Omega_2) = \int_{-\infty}^{\infty} \int_{-\infty}^{\infty} x_a(t_1, t_2) e^{-j\Omega_1 t_1 - j\Omega_2 t_2} dt_1 dt_2$$

$$x_a(t_1, t_2) = \frac{1}{4\pi^2} \int_{-\infty}^{\infty} \int_{-\infty}^{\infty} X_a(\Omega_1, \Omega_2) e^{j\Omega_1 t_1 + j\Omega_2 t_2} d\Omega_1 d\Omega_2$$

$$\Rightarrow x(n_1, n_2) = x_a(n_1 T_1, n_2 T_2) = \frac{1}{4\pi^2} \int_{-\infty}^{\infty} \int_{-\infty}^{\infty} X_a(\Omega_1, \Omega_2) e^{j\Omega_1 n_1 T_1 + j\Omega_2 n_2 T_2} d\Omega_1 d\Omega_2$$

$$\Rightarrow x(n_1, n_2) = \frac{1}{4\pi^2} \int_{-\infty}^{\infty} \int_{-\infty}^{\infty} \frac{1}{T_1 T_2} X_a\left(\frac{\omega_1}{T_1}, \frac{\omega_2}{T_2}\right) e^{j\omega_1 n_1 + j\omega_2 n_2} d\omega_1 d\omega_2$$

Divido o espaço  $(\omega_1, \omega_2)$  em períodos de  $e^{j\omega_1 n_1 + j\omega_2 n_2}$ , isto é, em quadrados definidos como

$$Sq(k_1, k_2): \begin{cases} -\pi + 2\pi k_1 \leq \omega_1 < \pi + 2\pi k_1 \\ -\pi + 2\pi k_2 \leq \omega_2 < \pi + 2\pi k_2 \end{cases}$$

$$\Rightarrow x(n_1, n_2) = \frac{1}{4\pi^2} \sum_{k_1} \sum_{k_2} \iint_{Sq(k_1, k_2)} \frac{1}{T_1 T_2} X_a\left(\frac{\omega'_1}{T_1}, \frac{\omega'_2}{T_2}\right) e^{j\omega'_1 n_1 + j\omega'_2 n_2} d\omega'_1 d\omega'_2$$

$$\omega'_1 = 2\pi k_1 + \omega_1, \quad \omega'_2 = 2\pi k_2 + \omega_2 \Rightarrow Sq(k_1, k_2): \begin{cases} -\pi \leq \omega_1 < \pi \\ -\pi \leq \omega_2 < \pi \end{cases}$$

$$\Rightarrow x(n_1, n_2) =$$

$$\frac{1}{4\pi^2} \int_{-\pi}^{\pi} \int_{-\pi}^{\pi} \frac{1}{T_1 T_2} \sum_{k_1} \sum_{k_2} X_a \left( \frac{\omega_1 + 2\pi k_1}{T_1}, \frac{\omega_2 + 2\pi k_2}{T_2} \right) e^{j\omega_1 n_1 + j\omega_2 n_2} \underbrace{e^{j2\pi k_1 + j2\pi k_2}}_{=1} d\omega_1 d\omega_2$$

$$\Rightarrow X(\omega_1, \omega_2) = \frac{1}{T_1 T_2} \sum_{k_1} \sum_{k_2} X_a \left( \frac{\omega_1 + 2\pi k_1}{T_1}, \frac{\omega_2 + 2\pi k_2}{T_2} \right), \quad \boxed{\begin{array}{l} -\pi \leq \omega_1 < \pi \\ -\pi \leq \omega_2 < \pi \end{array}}$$

Definindo agora o sinal

$$x_i(t_1, t_2) = \sum_{k_1} \sum_{k_2} x(k_1, k_2) \delta(t_1 - k_1 T_1, t_2 - k_2 T_2)$$

Temos que a sua transformada de Fourier é

$$\begin{aligned} X_i(\Omega_1, \Omega_2) &= \sum_{k_1} \sum_{k_2} x(k_1, k_2) \mathcal{F} \{ \delta(t_1 - k_1 T_1, t_2 - k_2 T_2) \} \\ &= \sum_{k_1} \sum_{k_2} x(k_1, k_2) e^{-j\Omega_1 T_1 k_1 - j\Omega_2 T_2 k_2} = X(\Omega_1 T_1, \Omega_2 T_2) \end{aligned}$$

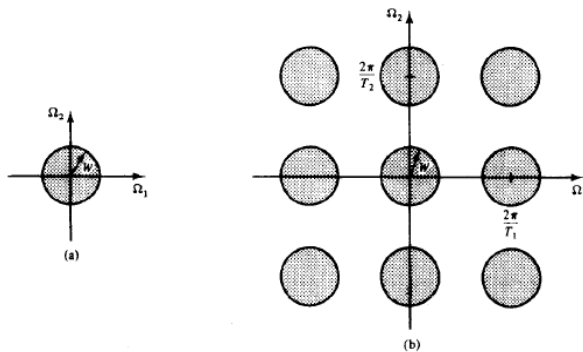
$$\Rightarrow X_i(\Omega_1, \Omega_2) = \frac{1}{T_1 T_2} \sum_{k_1} \sum_{k_2} X_a \left( \Omega_1 + \frac{2\pi k_1}{T_1}, \Omega_2 + \frac{2\pi k_2}{T_2} \right),$$

$$\begin{aligned} -\frac{\pi}{T_1} &\leq \Omega_1 < \frac{\pi}{T_1} \\ -\frac{\pi}{T_2} &\leq \Omega_2 < \frac{\pi}{T_2} \end{aligned}$$

Então, se  $X_a(\Omega_1, \Omega_2) = 0$ ,  $|\Omega_1| \geq \frac{\pi}{T_1}$  e  $|\Omega_2| \geq \frac{\pi}{T_2}$

$$\Rightarrow X_i(\Omega_1, \Omega_2) = \frac{1}{T_1 T_2} X_a(\Omega_1, \Omega_2), \quad |\Omega_1| < \frac{\pi}{T_1} \quad \text{e} \quad |\Omega_2| < \frac{\pi}{T_2}$$

“Período”:  $\left(\frac{2\pi}{T_1}, \frac{2\pi}{T_2}\right)$



$$X_a(\Omega_1, \Omega_2) = \begin{cases} T_1 T_2 X_i(\Omega_1, \Omega_2), & |\Omega_1| < \frac{\pi}{T_1} \text{ e } |\Omega_2| < \frac{\pi}{T_2} \\ 0, & n.d.p. \end{cases}$$

Para recuperar  $X_a(\Omega_1, \Omega_2)$ , filtro  $X_i(\Omega_1, \Omega_2)$  com um filtro com a seguinte resposta em frequência:

$$H(\Omega_1, \Omega_2) = \begin{cases} T_1 T_2, & |\Omega_1| < \frac{\pi}{T_1} \text{ e } |\Omega_2| < \frac{\pi}{T_2} \\ 0, & n.d.p. \end{cases}$$

Resposta ao impulso:

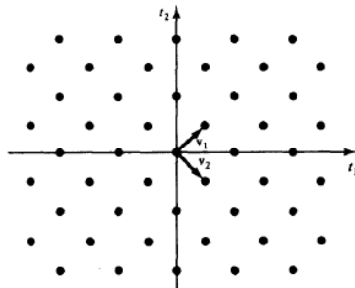
$$h(t_1, t_2) = T_1 T_2 \frac{\text{sen}\left(\frac{\pi}{T_1} t_1\right)}{\frac{\pi}{T_1} t_1} \frac{\text{sen}\left(\frac{\pi}{T_2} t_2\right)}{\frac{\pi}{T_2} t_2}.$$

## Amostragem com geometria arbitrária

$$t_1 = v_{11}n_1 + v_{12}n_2$$

$$t_2 = v_{21}n_1 + v_{22}n_2$$

$$\mathbf{V} = \begin{bmatrix} v_{11} & v_{12} \\ v_{21} & v_{22} \end{bmatrix} = [\mathbf{v}_1 \quad \mathbf{v}_2]$$



$$\mathbf{t} = \begin{pmatrix} t_1 \\ t_2 \end{pmatrix}, \quad \mathbf{n} = \begin{pmatrix} n_1 \\ n_2 \end{pmatrix} \Rightarrow \mathbf{t} = \mathbf{V}\mathbf{n} = n_1\mathbf{v}_1 + n_2\mathbf{v}_2, \quad \mathbf{V} : \text{matriz de amostragem}$$

$$x(\mathbf{n}) = x_a(\mathbf{Vn})$$

$$\begin{cases} X_a(\boldsymbol{\Omega}) = \int_{\mathbf{t} \in \mathbb{R}^2} x_a(\mathbf{t}) e^{-j\boldsymbol{\Omega}^T \mathbf{t}} d\mathbf{t} \\ x_a(\mathbf{t}) = \frac{1}{4\pi^2} \int_{\boldsymbol{\Omega} \in \mathbb{R}^2} X_a(\boldsymbol{\Omega}) e^{j\boldsymbol{\Omega}^T \mathbf{t}} d\boldsymbol{\Omega} \end{cases}$$

$$\begin{cases} X(\boldsymbol{\omega}) = \sum_{\mathbf{n} \in \mathbb{Z}^2} x(\mathbf{n}) e^{-j\boldsymbol{\omega}^T \mathbf{n}} \\ x(\mathbf{n}) = \frac{1}{4\pi^2} \int_{\boldsymbol{\omega} \in [-\pi, \pi]^2} X(\boldsymbol{\omega}) e^{j\boldsymbol{\omega}^T \mathbf{n}} d\boldsymbol{\omega} \end{cases}$$

$$x(\mathbf{n}) = x_a(\mathbf{Vn}) = \frac{1}{4\pi^2} \int_{\boldsymbol{\Omega} \in \mathbb{R}^2} X_a(\boldsymbol{\Omega}) e^{-j\boldsymbol{\Omega}^T \mathbf{Vn}} d\boldsymbol{\Omega}$$

$$\text{se } \boldsymbol{\omega} = \mathbf{V}^T \boldsymbol{\Omega} \quad \Rightarrow \quad d\boldsymbol{\omega} = |\det \mathbf{V}| d\boldsymbol{\Omega}$$

$$x(\mathbf{n}) = \frac{1}{4\pi^2} \int_{\boldsymbol{\omega} \in \mathbb{R}^2} \frac{1}{|\det \mathbf{V}|} X_a(\mathbf{V}^{T^{-1}} \boldsymbol{\omega}) e^{-j\boldsymbol{\omega}^T \mathbf{n}} d\boldsymbol{\omega}$$



$$x(\mathbf{n}) = \frac{1}{4\pi^2} \int_{\omega' \in \mathbb{R}^2} \frac{1}{|\det \mathbf{V}|} X_a(\mathbf{V}^T \omega') e^{-j\omega'^T \mathbf{n}} d\omega'$$

Integrando por áreas quadradas:  $\Rightarrow \int_{\omega' \in \mathbb{R}^2} = \sum_{\mathbf{k} \in \mathbb{Z}^2} \int_{\omega' \in [-\pi, \pi]^2 + 2\pi \mathbf{k}}$

Se  $\omega' = \omega + 2\pi \mathbf{k} \Rightarrow \int_{\omega' \in \mathbb{R}^2} = \sum_{\mathbf{k} \in \mathbb{Z}^2} \int_{\omega \in [-\pi, \pi]^2} = \int_{\omega \in [-\pi, \pi]^2} \sum_{\mathbf{k} \in \mathbb{Z}^2}$

$$\Rightarrow x(\mathbf{n}) = \frac{1}{4\pi^2} \int_{\omega \in [-\pi, \pi]^2} \frac{1}{|\det \mathbf{V}|} \sum_{\mathbf{k} \in \mathbb{Z}^2} X_a[(\mathbf{V}^T)^{-1}(\omega + 2\pi \mathbf{k})] e^{-j\omega^T \mathbf{n}} e^{j2\pi \mathbf{k}^T \mathbf{n}} d\omega$$

$$\Rightarrow X(\omega) = \frac{1}{|\det \mathbf{V}|} \sum_{\mathbf{k} \in \mathbb{Z}^2} X_a[(\mathbf{V}^T)^{-1}(\omega + 2\pi \mathbf{k})]$$

ou  $X(\omega) = \frac{1}{|\det \mathbf{V}|} \sum_{\mathbf{k} \in \mathbb{Z}^2} X_a[(\mathbf{V}^T)^{-1}(\omega - 2\pi \mathbf{k})]$

Definindo agora o sinal

$$x_i(\mathbf{t}) = \sum_{\mathbf{n} \in \mathbb{Z}^2} x(\mathbf{n}) \delta(\mathbf{t} - \mathbf{V}\mathbf{n})$$

Temos que a sua transformada de Fourier é

$$\begin{aligned} X_i(\boldsymbol{\Omega}) &= \sum_{\mathbf{n} \in \mathbb{Z}^2} x(\mathbf{n}) \mathcal{F} \{ \delta(\mathbf{t} - \mathbf{V}\mathbf{n}) \} \\ &= \sum_{\mathbf{n} \in \mathbb{Z}^2} x(\mathbf{n}) e^{-j\boldsymbol{\Omega}^T \mathbf{V}\mathbf{n}} = X(\mathbf{V}^T \boldsymbol{\Omega}) \end{aligned}$$

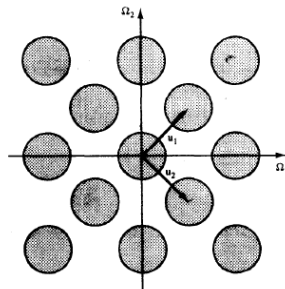
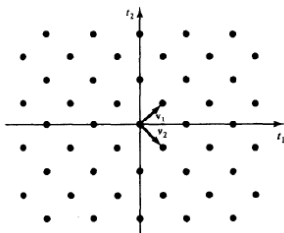
$$X_i(\boldsymbol{\Omega}) = \frac{1}{|\det \mathbf{V}|} \sum_{\mathbf{k} \in \mathbb{Z}^2} X_a(\boldsymbol{\Omega} - \mathbf{U}\mathbf{k}), \quad \mathbf{U}\mathbf{V}^T = 2\pi \mathbf{I}$$

# Amostragem Retangular

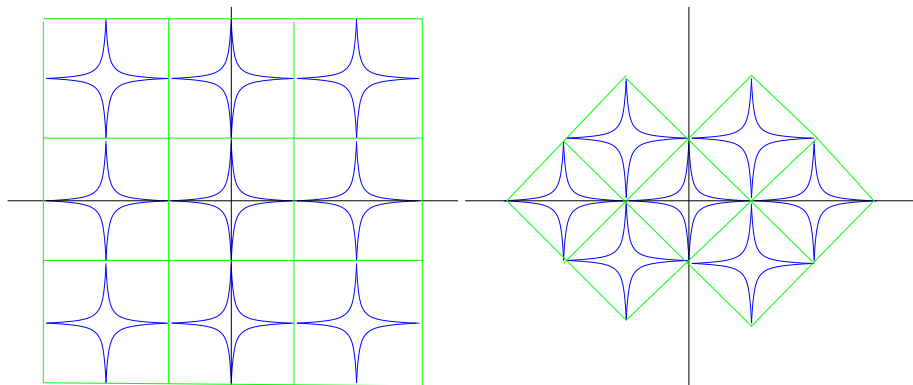
$$\mathbf{v} = \begin{bmatrix} T_1 & 0 \\ 0 & T_2 \end{bmatrix} \quad \mathbf{u} = \begin{bmatrix} \frac{2\pi}{T_1} & 0 \\ 0 & \frac{2\pi}{T_2} \end{bmatrix}$$

$X_i(\boldsymbol{\Omega}) =$  extensão periódica de  $X_a(\boldsymbol{\Omega})$ , com matriz de periodicidade  $\mathbf{U}$

Exemplo:  $\mathbf{v} = \begin{bmatrix} 1 & 1 \\ 1 & -1 \end{bmatrix} \quad \mathbf{u} = \begin{bmatrix} \pi & \pi \\ \pi & -\pi \end{bmatrix}$



Exemplo: Vídeo não-entrelaçado  $\times$  vídeo entrelaçado no plano vertical-temporal ( $\Omega_t \times \Omega_V$ )

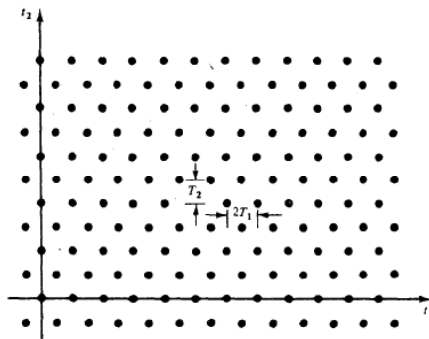


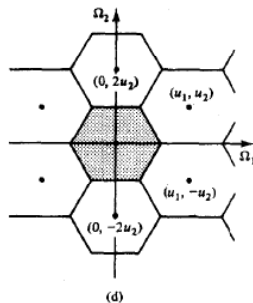
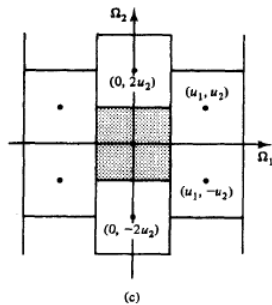
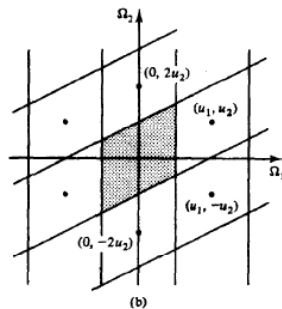
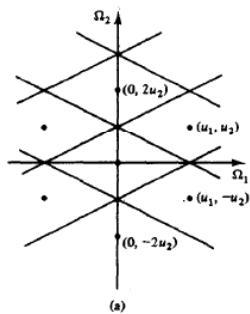
Não há altas frequências verticais e temporais ao mesmo tempo.

Melhor aproveitamento do plano de frequências.

OBS:  $\mathbf{V} = \begin{bmatrix} T_1 & T_1 \\ T_2 & -T_2 \end{bmatrix}$

$\mathbf{U} = \begin{bmatrix} u_1 & u_1 \\ u_2 & -u_2 \end{bmatrix} \Rightarrow$  amostragem hexagonal





Se não há aliasing:

$$X_i(\boldsymbol{\Omega}) = X(\mathbf{V}^T \boldsymbol{\Omega}) = \frac{1}{|\det \mathbf{V}|} X_a(\boldsymbol{\Omega}), \quad \boldsymbol{\Omega} \in B$$

$$\Rightarrow X_a(\boldsymbol{\Omega}) = \begin{cases} |\det \mathbf{V}| X(\mathbf{V}^T \boldsymbol{\Omega}), & \boldsymbol{\Omega} \in B \\ 0, & \text{n.d.p.} \end{cases}$$

$$\Rightarrow x_a(\mathbf{t}) = \frac{|\det \mathbf{V}|}{4\pi^2} \sum_{\mathbf{n} \in \mathbb{Z}^2} x(\mathbf{n}) \int_B e^{j\boldsymbol{\Omega}^T (\mathbf{t} - \mathbf{V}\mathbf{n})} d\boldsymbol{\Omega}$$

$$x_a(\mathbf{t}) = \sum_{\mathbf{n} \in \mathbb{Z}^2} x(\mathbf{n}) f(\mathbf{t} - \mathbf{V}\mathbf{n}), \quad \text{onde} \quad f(\mathbf{t}) = \frac{|\det \mathbf{V}|}{4\pi^2} \int_B e^{j\boldsymbol{\Omega}^T \mathbf{t}} d\boldsymbol{\Omega}.$$

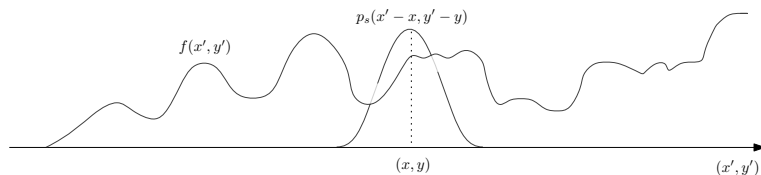
# Limitações Práticas na Amostragem e Reconstrução

## Abertura de amostragem

Amostragem prática:

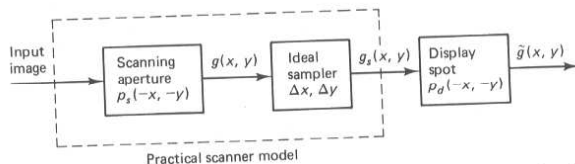
$$g(x, y) = \iint_{\Lambda} p_s(x' - x, y' - y) f(x', y') dx' dy'$$

$$g(x, y) = p_s(x, y) \star f(x, y) = p_s(-x, -y) \star f(x, y)$$





$$\Rightarrow \begin{cases} p_s(x, y) : \text{distribuição de luz na abertura} \\ \Lambda : \text{forma da abertura} \end{cases}$$

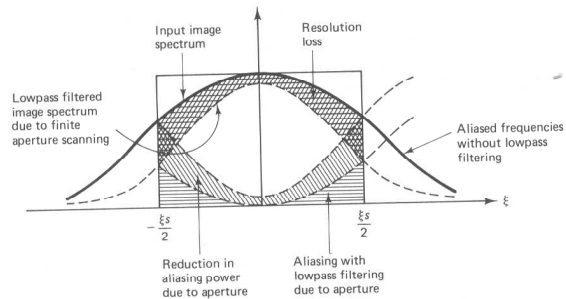


$$g_s(x, y) = g(x, y) \sum_{n=-\infty}^{\infty} \sum_{m=-\infty}^{\infty} \delta(x - n\Delta x, y - n\Delta y)$$

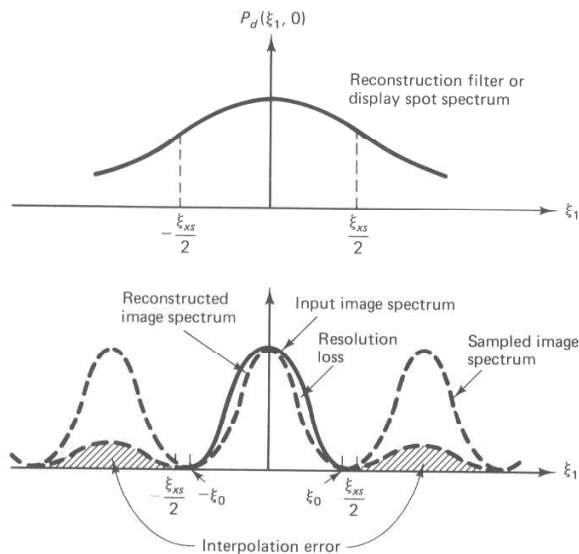
Caso ideal:  $p_s(x, y) = p_d(x, y) = \delta(x, y)$

Em geral:  $p_s(x, y) \Rightarrow$  resposta ao impulso de um filtro passa-baixa.

$\Rightarrow$  O processo de varredura e amostragem equivale a uma filtragem passa-baixas seguida de amostragem (reduz aliasing).



Na hora do display: o formato do feixe de elétrons equivale a uma interpolação.



I  
F

⇒ quanto menor for  $\varepsilon_{XS}$ , menos aliasing.

⇒ Se é muito estreita, perco resolução (“borro”) na imagem reconstruída

One-dimensional interpolation function	Diagram	Definition $p(x)$	Two-dimensional interpolation function $p_{\theta}(x, y) = p(x)p(y)$	Frequency response $p_{\theta}(\xi_1, \xi_2)$	$p_{\theta}(\xi_1, 0)$
Rectangle (zero-order hold) ZOH $p_0(x)$		$\frac{1}{\Delta x} \text{rect}\left(\frac{x}{\Delta x}\right)$	$p_0(x)p_0(y)$	$\text{sinc}\left(\frac{\xi_1}{2\xi_{x0}}\right)\text{sinc}\left(\frac{\xi_2}{2\xi_{y0}}\right)$	
Triangle (first-order hold) FOH $p_1(x)$		$\frac{1}{\Delta x} \text{tri}\left(\frac{x}{\Delta x}\right)$ $p_0(x) \oplus p_0(x)$	$p_1(x)p_1(y)$	$\left[\text{sinc}\left(\frac{\xi_1}{2\xi_{x0}}\right)\text{sinc}\left(\frac{\xi_2}{2\xi_{y0}}\right)\right]^2$	
nth-order hold $n=2$ , quadratic $n=3$ , cubic splines $p_n(x)$		$p_0(x) \odot \dots \odot p_0(x)$ $n$ convolutions	$p_n(x)p_n(y)$	$\left[\text{sinc}\left(\frac{\xi_1}{\xi_{x0}}\right)\text{sinc}\left(\frac{\xi_2}{\xi_{y0}}\right)\right]^{n+1}$	
Gaussian $p_g(x)$		$\frac{1}{\sqrt{2\pi\sigma^2}} \exp\left[-\frac{x^2}{2\sigma^2}\right]$	$\frac{1}{2\pi\sigma^2} \exp\left[-\frac{(x^2+y^2)}{2\sigma^2}\right]$	$\exp[-2\pi^2\sigma^2(\xi_1^2 + \xi_2^2)]$	
Sinc		$\frac{1}{\Delta x} \text{sinc}\left(\frac{x}{\Delta x}\right)$	$\frac{1}{\Delta x \Delta y} \text{sinc}\left(\frac{x}{\Delta x}\right)\text{sinc}\left(\frac{y}{\Delta y}\right)$	$\text{rect}\left(\frac{\xi_1}{2\xi_{x0}}\right)\text{rect}\left(\frac{\xi_2}{2\xi_{y0}}\right)$	

## Interpolação Polinomial (Lagrange)

$$L_k^q(x) = \prod_{m=k_0, m \neq k}^{k_1} \left( \frac{x-m}{k-m} \right), \quad k_0 < k < k_1, \quad q = 2, 3, \dots$$

$$L_k^1(x) = 1, \quad \forall k$$

$$k_0 = -\left(\frac{q-1}{2}\right), \quad k_1 = \left(\frac{q-1}{2}\right), \quad q \text{ ímpar}$$

$$k_0 = -\left(\frac{q-2}{2}\right), \quad k_1 = \left(\frac{q}{2}\right), \quad q \text{ par}$$

$\Rightarrow \mathbf{q - 1}$  : ordem do interpolador.

Amostras em  $f(m\Delta) \Rightarrow$

$$\hat{f}(x) = f(m\Delta + \alpha\Delta) \triangleq \sum_{k=k_0}^{k_1} L_k^q(\alpha) f(m\Delta + k\Delta)$$

$x = m\Delta + \alpha\Delta$ ,  $m \in \mathbf{Z}$ ,  $0 \leq \alpha < 1$ ,  $q$  par,  $-\frac{1}{2} \leq \alpha < \frac{1}{2}$ ,  $q$  ímpar.

$q = 1 \rightarrow \text{ZOH}$

$q = 2 \rightarrow \text{FOH}$

$\vdots$

$q = \infty \rightarrow \text{sinc}$

